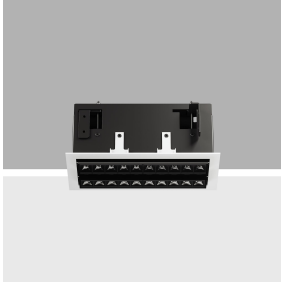


Ultimo aggiornamento delle informazioni: Aprile 2025

Configurazione di prodotto: PH95

PH95: Incasso Frame orientabile 2x10 celle - LED - Neutral White - Alimentazione dimmerabile DALI



Codice prodotto

PH95: Incasso Frame orientabile 2x10 celle - LED - Neutral White - Alimentazione dimmerabile DALI

Descrizione tecnica

Apparecchio rettangolare ad incasso con sorgenti LED. Vano strutturale in lamiera di acciaio sagomata con faldina perimetrale di battuta. I due elementi lineari a 10 celle luminose, realizzati in alluminio pressofuso e direzionabili indipendentemente, permettono di indirizzare l'emissione con possibilità di orientamento basculante +/- 20°. Ottiche ad alta definizione in termoplastico metallizzato, integrate in posizione arretrata nello schermo antiabbagliamento nero; la composizione strutturale del sistema ottico evita l'effetto puntiforme, permette di ottenere una distribuzione luminosa definita e circolare e determina un'emissione ad abbagliamento controllato. Fornito con gruppo di alimentazione dimmerabile DALI collegato all'apparecchio.

Installazione

ad incasso con sistema di bloccaggio meccanico per controsoffitti da 1 a 25 mm; possibilità di installazione a soffitto e a parete (verticale + orizzontale)

Colore

Bianco (01) | Nero/Nero (43) | Bianco/Nero (47) | Bianco/Oro (41)* | Grigio/Nero (74)* | Bianco/Cromo brunito (E7)*

Peso (Kg)

1.43

* Colori a richiesta

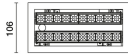
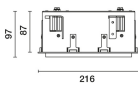
Montaggio

incasso a parete|incasso a soffitto

Cablaggio

su box di alimentazione: connessioni a vite

Soddisfa EN60598-1 e relative note



Dati tecnici

| | | | |
|--|------|------------------------------------|---------------------------------|
| Im di sistema: | 3018 | CRI (minimo): | 90 |
| W di sistema: | 31.8 | Temperatura colore [K]: | 4000 |
| Im di sorgente: | 1840 | MacAdam Step: | 3 |
| W di sorgente: | 14 | Life Time LED 1: | > 50,000h - L90 - B10 (Ta 25°C) |
| Efficienza luminosa (lm/W, dati di sistema): | 94.9 | Codice lampada: | LED |
| Im in modalità emergenza: | - | Numero di lampade per vano ottico: | 1 |
| Flusso totale emesso a 90° o superiore [Lm]: | 0 | Codice ZVEI: | LED |
| Light Output Ratio (L.O.R.) [%]: | 82 | Numero di vani ottici: | 2 |
| Angolo di apertura [°]: | 42° | Control: | DALI-2 |

Polare

| | | | | | |
|-------------------------------|--|------------|----------|-----------|-------------|
| <p>Imax=2927 cd α=42°</p> | CIE nL 0.82 100-100-100-100-82 UGR 14.9-14.9 | Lux | | | |
| | DIN A.61 | h | d | Em | Emax |
| | UTE 0.82A+0.00T F*1=996 F*1+F*2=1000 F*1+F*2+F*3=1000 | 2 | 1.5 | 587 | 732 |
| | CIBSE LG3 L<1500 cd/m² at 65° UGR<16 L<1500 cd/mq @65° | 4 | 3.1 | 147 | 183 |
| | | 6 | 4.6 | 65 | 81 |
| | 8 | 6.1 | 37 | 46 | |

Coefficienti di utilizzazione

| R | 77 | 75 | 73 | 71 | 55 | 53 | 33 | 00 | DRR |
|------|----|----|----|----|----|----|----|----|-----|
| K0.8 | 74 | 70 | 68 | 65 | 70 | 67 | 67 | 64 | 78 |
| 1.0 | 77 | 74 | 71 | 70 | 73 | 71 | 70 | 68 | 83 |
| 1.5 | 81 | 78 | 76 | 75 | 78 | 76 | 75 | 73 | 89 |
| 2.0 | 84 | 82 | 80 | 79 | 81 | 79 | 78 | 76 | 93 |
| 2.5 | 85 | 84 | 83 | 82 | 83 | 82 | 81 | 78 | 96 |
| 3.0 | 86 | 85 | 84 | 84 | 84 | 83 | 82 | 80 | 98 |
| 4.0 | 87 | 86 | 86 | 85 | 85 | 85 | 83 | 81 | 99 |
| 5.0 | 88 | 87 | 87 | 87 | 86 | 85 | 84 | 82 | 100 |

Curva limite di luminanza

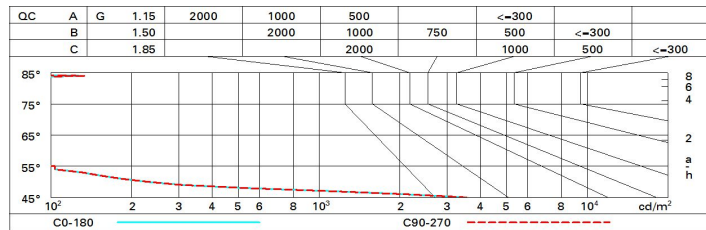


Diagramma UGR

| Corrected UGR values (at 1840 lm bare lamp luminous flux) | | | | | | | | | | | |
|---|------|------------------|------|------|------|------|----------------|------|------|------|------|
| Reflect.: | | viewed crosswise | | | | | viewed endwise | | | | |
| ceil/cav | | 0.70 | 0.70 | 0.50 | 0.50 | 0.30 | 0.70 | 0.70 | 0.50 | 0.50 | 0.30 |
| walls | | 0.50 | 0.30 | 0.50 | 0.30 | 0.30 | 0.50 | 0.30 | 0.50 | 0.30 | 0.30 |
| work pl. | | 0.20 | 0.20 | 0.20 | 0.20 | 0.20 | 0.20 | 0.20 | 0.20 | 0.20 | 0.20 |
| Room dim | | viewed crosswise | | | | | viewed endwise | | | | |
| x | y | | | | | | | | | | |
| 2H | 2H | 15.5 | 16.0 | 15.8 | 16.3 | 16.5 | 15.5 | 16.0 | 15.8 | 16.3 | 16.5 |
| | 3H | 15.4 | 15.9 | 15.7 | 16.1 | 16.4 | 15.4 | 15.9 | 15.7 | 16.1 | 16.4 |
| | 4H | 15.3 | 15.8 | 15.6 | 16.0 | 16.3 | 15.3 | 15.8 | 15.6 | 16.0 | 16.3 |
| | 6H | 15.2 | 15.6 | 15.6 | 16.0 | 16.3 | 15.2 | 15.6 | 15.6 | 16.0 | 16.3 |
| | 8H | 15.2 | 15.6 | 15.6 | 15.9 | 16.3 | 15.2 | 15.6 | 15.6 | 15.9 | 16.3 |
| | 12H | 15.2 | 15.5 | 15.5 | 15.9 | 16.2 | 15.2 | 15.5 | 15.5 | 15.9 | 16.2 |
| 4H | 2H | 15.3 | 15.8 | 15.6 | 16.0 | 16.3 | 15.3 | 15.8 | 15.6 | 16.0 | 16.3 |
| | 3H | 15.2 | 15.5 | 15.5 | 15.9 | 16.2 | 15.2 | 15.5 | 15.5 | 15.9 | 16.2 |
| | 4H | 15.1 | 15.4 | 15.5 | 15.8 | 16.2 | 15.1 | 15.4 | 15.5 | 15.8 | 16.2 |
| | 6H | 15.0 | 15.3 | 15.4 | 15.7 | 16.1 | 15.0 | 15.3 | 15.4 | 15.7 | 16.1 |
| | 8H | 14.9 | 15.2 | 15.4 | 15.6 | 16.0 | 14.9 | 15.2 | 15.4 | 15.6 | 16.0 |
| | 12H | 14.9 | 15.1 | 15.3 | 15.6 | 16.0 | 14.9 | 15.1 | 15.3 | 15.6 | 16.0 |
| 8H | 4H | 14.9 | 15.2 | 15.4 | 15.6 | 16.0 | 14.9 | 15.2 | 15.4 | 15.6 | 16.0 |
| | 6H | 14.8 | 15.1 | 15.3 | 15.5 | 16.0 | 14.8 | 15.1 | 15.3 | 15.5 | 16.0 |
| | 8H | 14.8 | 15.0 | 15.3 | 15.4 | 15.9 | 14.8 | 15.0 | 15.3 | 15.4 | 15.9 |
| | 12H | 14.7 | 14.9 | 15.2 | 15.4 | 15.9 | 14.7 | 14.9 | 15.2 | 15.4 | 15.9 |
| 12H | 4H | 14.9 | 15.1 | 15.3 | 15.6 | 16.0 | 14.9 | 15.1 | 15.3 | 15.6 | 16.0 |
| | 6H | 14.8 | 15.0 | 15.3 | 15.4 | 15.9 | 14.8 | 15.0 | 15.3 | 15.4 | 15.9 |
| | 8H | 14.7 | 14.9 | 15.2 | 15.4 | 15.9 | 14.7 | 14.9 | 15.2 | 15.4 | 15.9 |
| Variations with the observer position at spacing: | | | | | | | | | | | |
| S = | 1.0H | 6.3 / -34.2 | | | | | 6.3 / -34.2 | | | | |
| | 1.5H | 9.1 / -35.8 | | | | | 9.1 / -35.8 | | | | |
| | 2.0H | 11.1 / -37.1 | | | | | 11.1 / -37.1 | | | | |